

不連続性岩盤に対する孔内載荷試験の適用

京都大学工学部 正会員 島 昭治郎
 京都大学工学部 正会員 谷本 韶伯
 京都大学工学部 正会員 斎谷 敬二
 日本国有鉄道 正会員 ○武上 康介

1.はじめに

孔内載荷試験は、他の試験法に比べ簡便で経済的であるため多く用いられるようになつてゐた。岩盤を対象とする場合、節理・きれつ等の不連続面を含んでいたため、この影響を把握することは重要な問題となる。そこで、きれつと含む模型地盤を用いた室内試験により試験結果に及ぼすきれつの影響を考察した。

2.実験装置

孔内載荷試験装置はアレシオメータG型を用いた。模型地盤の外枠を図-1(a)のように作成し、この内に石コウを作成したアロツクを配置し、周囲4皿にフラットジャッキを挿入する。フラットジャッキは、1辺37.5cm厚さ1.5mmで模型地盤に任意の圧力を載荷できるようになってゐる。石コウの一軸圧縮強度、弹性係数・ボアソン比は、 $\sigma_u = 109 \text{ kg/cm}^2$, $E = 36200 \text{ kg/cm}^2$, $\nu = 0.33$ である。フロツク形状は4種類で、上面図を図-1(b)に示す。供試体No.1は連続体モデルで、内部に16ヶ所32本のひずみゲージを埋設して。No.2～No.4は、同図に示すとおりで、高さ方向を4層としてある。これらの供試体にフラットジャッキにより圧力を5, 10, 20, 30 kg/cm²の4段階に設定し、それとの圧力に対してアレシオメータによる最高圧力50 kg/cm²の5段階に分割して繰返し載荷を行つた。

この試験結果の一部を図-2に、周圧と変形係数(D_p)・弾性係数

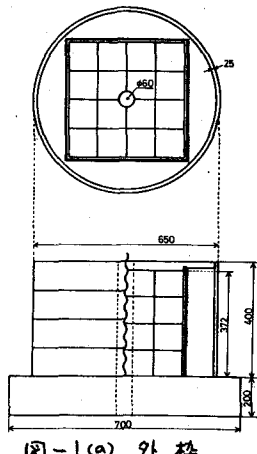


図-1(a) 外枠

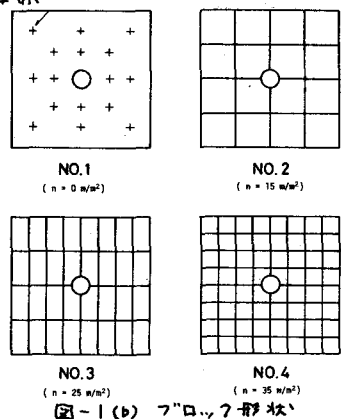
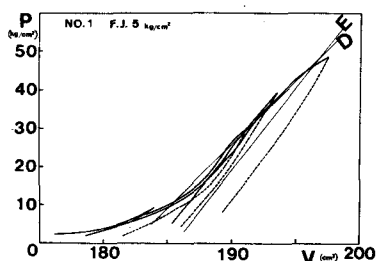
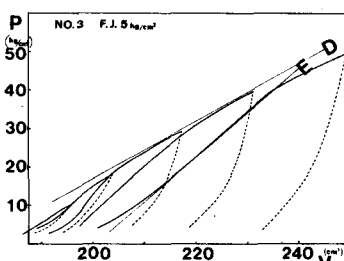
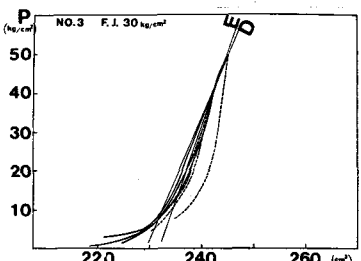


図-1(b) フロツク形状

図-2(a) P-V曲線 (No.1, F.J. 5 kg/cm²)図-2(b) P-V曲線 (No.3, F.J. 5 kg/cm²)図-2(c) P-V曲線 (No.3, F.J. 30 kg/cm²)

Shōjirō HATA, Chikaosa TANIMOTO, Keizō KARIYA, Kōsuke TAKEGAMI

係数(D_p)の関係を図-3に示した。図中F.J.12. フラットジャッキによる周圧の値である。

3. 試験結果と考察

連続体No.1の孔壁から5cmの地点に埋設したひずみゲージの、F.J. 5kN/cm²の測定結果を図-4(a)に示すが、内圧40~45kg/cm²で急激なひずみの変化が認められる。また、図-2(c)に示したNo.1のP-V曲線において40kg/cm²付近から透水量が急増している。一方、弾性論による解析では、周圧は変形係数にはほとんど影響を及ぼさないという結果が得られたが、連続体と仮定したNo.1モデルの結果は、図-3にみられる様に周圧に大きく影響される。以上の事から、No.1において、孔壁から半径方向にきれつが生じたと考えられる。このきれつは、載荷試験によって生じる接続方向の引張力により開閉し、きれつの開閉は、周圧に依存すると同時に試験結果から得られる変形係数に影響を及ぼすと思われる。つきに、No.2~No.4においては、半径方向のきれつは同一条件と考えられるが、きれつ数が増加するに従って透水量の変化が大きくなり、低い変形係数を示すとともに、繰返し載荷に伴い塑性変形がより大きくなることが確認できる。この塑性変形は、内圧が増加するに従って半径方向以外のきれつ面における相手的変位によるものであり、きれつ面の摩擦角や周圧に大きく影響されると併に、変形係数に影響を及ぼす。きれつ頻度(=1/n)で考えると、(n)はきれつ頻度(n)と変形係数の関係を示している。ここに、きれつ頻度(n)は水平面内に存在するきれつの長さの総和と、対象とする面積で除した値と採用し、縦軸に

D_p 値と連続体地盤で得られた D_{po} 値の比をとった。周圧が低い程、きれつの増加に伴う D_p 値の減少の割合が大きいことが認められる。例えば、n=35においては、F.J. 5kN/cm²で D_p は15%，F.J. 10kN/cm²で D_p は30%，F.J. 20kN/cm²で D_p は50%，F.J. 30kN/cm²で D_p は60%である。

4 まとめ

不連続岩盤の变形・強度特性には、きれつと初期応力及び載荷圧が大きく影響する。そのため、原位置試験では、測定部分の孔壁の状態を十分調査し、試験結果と検討することが必要となる。

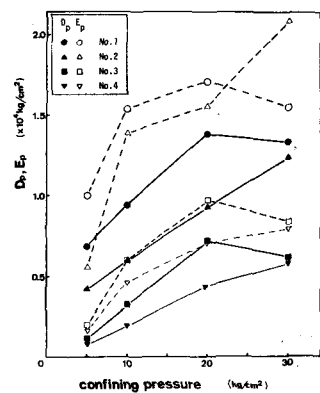


図-3 $D_p \cdot E_p$ と
周圧の関係

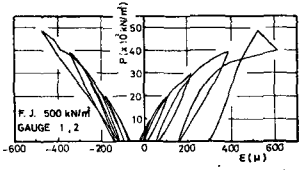


図-4(a) ひずみゲージ P-E 曲線

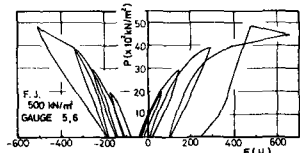


図-4(b) ひずみゲージ P-E 曲線

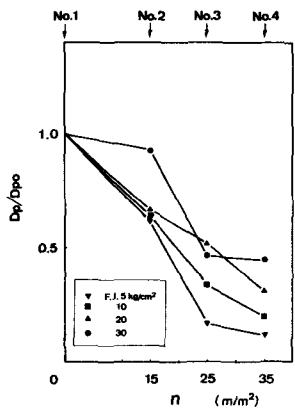


図-5 きれつ頻度と
変形係数の関係